

Неклассические релаксационные колебания

Глызин С.Д.
glyzin@uniyar.ac.ru

Ярославский государственный университет им. П.Г. Демидова

Пример

$$\dot{x} = \alpha - x(y + 1), \quad \varepsilon \dot{y} = \left[x - 1 - \frac{\beta}{1 + \gamma y} \right] y, \quad (1)$$

$0 < \varepsilon \ll 1$, $\alpha, \beta, \gamma > 0$ имеют порядок единицы и кроме того выполняется условие

$$\alpha > \beta + 1. \quad (2)$$

Пример

$$\dot{x} = \alpha - x(y + 1), \quad \varepsilon \dot{y} = \left[x - 1 - \frac{\beta}{1 + \gamma y} \right] y, \quad (1)$$

$0 < \varepsilon \ll 1$, $\alpha, \beta, \gamma > 0$ имеют порядок единицы и кроме того выполняется условие

$$\alpha > \beta + 1. \quad (2)$$

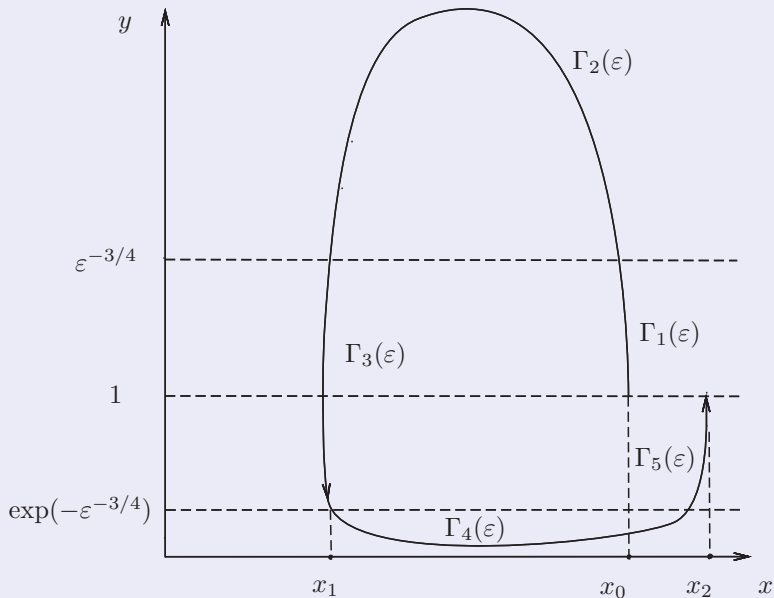


Рис.: 1

Для отыскания циклов системы (13) фиксируем произвольно $x_0 \in [\beta + 1, \alpha]$ и обозначим через

$$\Gamma(\varepsilon) = \{(x, y) : x = x(t, x_0, \varepsilon), y = y(t, x_0, \varepsilon), t \geq 0\} \quad (3)$$

ее траекторию с начальными условиями $x(0, x_0, \varepsilon) = x_0, y(0, x_0, \varepsilon) = 1$. Рассмотрим второй положительный корень $t = T(x_0, \varepsilon)$ уравнения $y(t, x_0, \varepsilon) = 1$ (если он существует) и определим оператор последования Пуанкаре

$$x_0 \rightarrow \Pi(x_0, \varepsilon) \stackrel{\text{def}}{=} x(t, x_0, \varepsilon) \Big|_{t=T(x_0, \varepsilon)}. \quad (4)$$

Наша задача – выяснить асимптотическое поведение при $\varepsilon \rightarrow 0$ оператора (4).

Справедливо неравенство

$$x_0 - 1 - \beta/(1 + \gamma y) > 0 \quad \forall y \geq 0. \quad (5)$$

А отсюда и из (13) заключаем, что сначала движение фазовой точки (x, y) происходит в асимптотически малой окрестности луча $\{(x, y) : x = x_0, y \geq 1\}$, причем компонента $y(t, x_0, \varepsilon)$ за асимптотически малое время (порядка $\varepsilon \ln(1/\varepsilon)$) достигает значения $y = \varepsilon^{-3/4}$. Соответствующий участок траектории $\Gamma(\varepsilon)$ обозначим через $\Gamma_1(\varepsilon)$ (см. рис 1) и назовем участком взлета.

Справедливо неравенство

$$x_0 - 1 - \beta/(1 + \gamma y) > 0 \quad \forall y \geq 0. \quad (5)$$

А отсюда и из (13) заключаем, что сначала движение фазовой точки (x, y) происходит в асимптотически малой окрестности луча $\{(x, y) : x = x_0, y \geq 1\}$, причем компонента $y(t, x_0, \varepsilon)$ за асимптотически малое время (порядка $\varepsilon \ln(1/\varepsilon)$) достигает значения $y = \varepsilon^{-3/4}$. Соответствующий участок траектории $\Gamma(\varepsilon)$ обозначим через $\Gamma_1(\varepsilon)$ (см. рис 1) и назовем участком взлета.

Следующий участок, лежащий в полуплоскости $y \geq \varepsilon^{-3/4}$, обозначим через $\Gamma_2(\varepsilon)$ и будем называть участком поворота. Сделаем в (13) замену $u = \varepsilon y$ и возьмем x за новое время. После отбрасывания асимптотически малых добавок имеем

$$\frac{du}{dx} = -\frac{x-1}{x}, \quad u|_{x=x_0} = 0. \quad (6)$$

Решение задачи (6) задается равенством

$$u(x) = -(x - x_0) + \ln \frac{x}{x_0}, \quad 0 < x \leq x_0. \quad (7)$$

Следующий участок, лежащий в полуплоскости $y \geq \varepsilon^{-3/4}$, обозначим через $\Gamma_2(\varepsilon)$ и будем называть участком поворота. Сделаем в (13) замену $u = \varepsilon y$ и возьмем x за новое время. После отбрасывания асимптотически малых добавок имеем

$$\frac{du}{dx} = -\frac{x-1}{x}, \quad u|_{x=x_0} = 0. \quad (6)$$

Решение задачи (6) задается равенством

$$u(x) = -(x - x_0) + \ln \frac{x}{x_0}, \quad 0 < x \leq x_0. \quad (7)$$

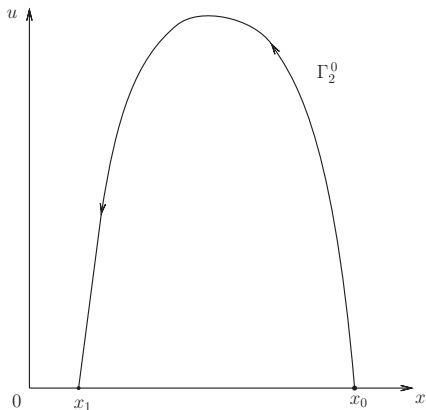


Рис.: 2

$$\Gamma_2^0 = \{(x, u) : u = u(x), x_1 \leq x \leq x_0\}.$$

Время движения по $\Gamma_2(\varepsilon)$ имеет порядок $\varepsilon \ln(1/\varepsilon)$. Любой кусок $\Gamma_2(\varepsilon)$, отвечающий значениям $x \in [a, b] \subset (x_1, x_0)$, где $a, b = \text{const} > 0$, фазовая точка (x, u) проходит за время порядка ε .

Поскольку $u(x_0) = 0$, $u'(x) < 0$ при $1 < x \leq x_0$, $u'(x) > 0$ при $0 < x < 1$, $u(x) \rightarrow -\infty$ при $x \rightarrow +0$, то на интервале $(0, 1)$ уравнение $u(x) = 0$ допускает единственное решение $x = x_1$, причем $u(x) > 0$ при $x_1 < x < x_0$. А это значит, что, двигаясь по кривой $\Gamma_2(\varepsilon)$, фазовая точка системы (13) сначала покидает прямую $y = \varepsilon^{-3/4}$, а затем снова возвращается на нее. После перехода к переменным (x, u) участок $\Gamma_2(\varepsilon) \subset \Gamma(\varepsilon)$ имеет пределом при $\varepsilon \rightarrow 0$ кривую

$\Gamma_3(\varepsilon)$ соответствует значениям переменной y из отрезка $\exp(-\varepsilon^{-3/4}) \leq y \leq \varepsilon^{-3/4}$, и аналогичен уже рассмотренному случаю $\Gamma_1(\varepsilon)$. $x_1 - 1 - \beta/(1 + \gamma y) < 0 \quad \forall y \geq 0$, следовательно кривая $\Gamma_3(\varepsilon)$ асимптотически близка к отрезку $\{(x, y) : x = x_1, \exp(-\varepsilon^{-3/4}) \leq y \leq \varepsilon^{-3/4}\}$
 $\Gamma_3(\varepsilon)$ — участок «падения» и время «падения» имеет порядок $\varepsilon^{1/4}$.

$\Gamma_4(\varepsilon)$ лежит в полуплоскости $y \leq \exp(-\varepsilon^{-3/4})$ и называется участком медленного движения. Для его описания перейдем в системе (13) к новой переменной $v = \varepsilon \ln y$ и возьмем x за новое время.

Для нахождения $v = v(x)$ после отбрасывания асимптотически малых слагаемых имеем

$$\frac{dv}{dx} = \frac{x - 1 - \beta}{\alpha - x}, \quad v|_{x=x_1} = 0, \quad (8)$$

из которой, в свою очередь, выводим:

$$v(x) = -(x - x_1) - (\alpha - 1 - \beta) \ln \frac{\alpha - x}{\alpha - x_1}, \quad x_1 \leq x < \alpha. \quad (9)$$

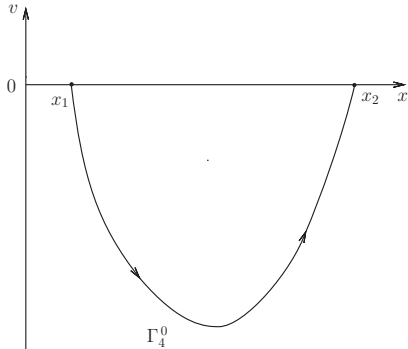


Рис.: 3

$\Gamma_4^0 = \{(x, v) : v = v(x), x_1 \leq x \leq x_2\}$ (см. рис. 3).

Заключительный этап — участок подъема $\Gamma_5(\varepsilon) \subset \Gamma(\varepsilon)$. Время "подъема" асимптотически мало (имеет порядок $\varepsilon^{1/4}$).

Функция $v(x)$ такая, что $v'(x) < 0$ при $x_1 \leq x < \beta + 1$, $v'(x) > 0$ при $\beta + 1 < x < \alpha$, $v(x) \rightarrow +\infty$ при $x \rightarrow \alpha - 0$. Следовательно, у уравнения $v(x) = 0$ на интервале $\beta + 1 < x < \alpha$ существует единственное решение $x = x_2$, причем $v(x) < 0$ при $x_1 < x < x_2$. После перехода к переменным (x, v) кривая $\Gamma_4(\varepsilon)$ стремится при $\varepsilon \rightarrow 0$ к пределу

Лемма

При всех достаточно малых $\varepsilon > 0$ оператор (4) определен на отрезке $\beta + 1 \leq x_0 \leq \alpha$ и удовлетворяет предельным равенствам

$$\begin{aligned} \lim_{\varepsilon \rightarrow 0} \max_{\beta+1 \leq x_0 \leq \alpha} |\Pi(x_0, \varepsilon) - \Pi(x_0)| &= 0, \\ \lim_{\varepsilon \rightarrow 0} \max_{\beta+1 \leq x_0 \leq \alpha} |\Pi'(x_0, \varepsilon) - \Pi'(x_0)| &= 0. \end{aligned} \quad (10)$$

Здесь штрих – производная по x_0 , а оператор $\Pi(x_0)$ задается соотношениями:

$$\Pi = \Pi_2 \circ \Pi_1, \quad \Pi_1 : x_0 \rightarrow x_1 = x_1(x_0), \quad \Pi_2 : x_1 \rightarrow x_2 = x_2(x_1), \quad (11)$$

где x_1 и x_2 – введенные выше корни уравнений $u(x) = 0$ и $v(x) = 0$ соответственно.

Лемма

Отображение (11) имеет на отрезке $\beta + 1 \leq x_0 \leq \alpha$ единственную экспоненциально устойчивую неподвижную точку $x_0 = x_0^$.*

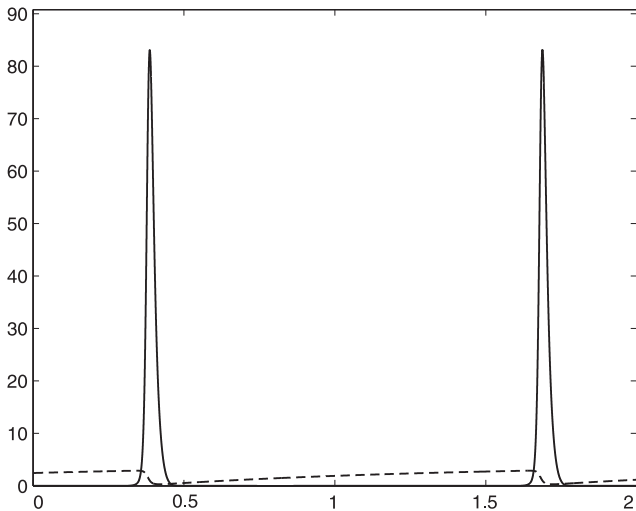


Рис.:

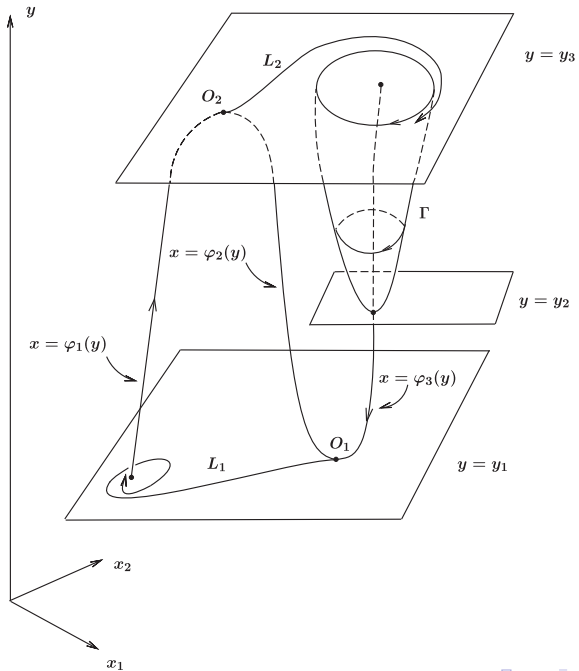
$$\begin{aligned}\dot{x} &= f(x, y), \\ \varepsilon \dot{y} &= [g(x, y) - y(t - h)]y,\end{aligned}\tag{12}$$

где $0 < \varepsilon \ll 1$, $h = \text{const} > 0$; $f, g \in C^\infty(K)$,
 $K = \{(x, y) : x > -\delta_0, y > -\delta_0\}$, $\delta_0 > 0$.

Установлено, что при некоторых дополнительных ограничениях на функции f , g и запаздывание h в системе (12) существует устойчивый релаксационный цикл.

Катастрофа голубого неба

Рассмотрим гладкое однопараметрическое семейство векторных полей X_μ в \mathbb{R}^3 и предположим, что при $\mu = 0$ поток X_μ имеет периодическую траекторию L_0 типа простой седло-узел. Рассмотрим, далее, некоторую достаточно малую окрестность \mathcal{U} траектории L_0 , разделяемую двумерным сильно устойчивым многообразием $W^{ss}(L_0)$ на две области: узловую \mathcal{U}^+ , все траектории из которой стремятся к L_0 при $t \rightarrow +\infty$, и седловую \mathcal{U}^- , в которой лежит двумерное неустойчивое многообразие $W_{loc}^u(L_0)$ с краем L_0 . Следующее ограничение носит существенно нелокальный характер и состоит в том, что все траектории системы X_0 с начальными условиями из $W_{loc}^u(L_0)$ при увеличении t сначала покидают окрестность \mathcal{U} , а затем снова возвращаются в нее, попадая в узловую область \mathcal{U}^+ . Тогда, очевидно, каждая из упомянутых траекторий оказывается двоякоасимптотической к L_0 . И наконец, будем считать, что множество $W^u(L_0)$, получающееся из $W_{loc}^u(L_0)$ после продолжения по траекториям потока X_0 , не является топологическим многообразием.



$$\dot{x} = f(x, y, \mu), \quad \varepsilon \dot{y} = g(x, y), \quad x = (x_1, x_2) \in \mathbb{R}^2, \quad y \in \mathbb{R}, \quad (13)$$

где $0 < \varepsilon \ll 1$, $|\mu| \ll 1$, а на функции $f, g \in C^\infty$ были наложены стандартные ограничения, обеспечивающие существование так называемых классических релаксационных колебаний. Напомним, что классическими называются колебания, у которых при $\varepsilon \rightarrow 0$ медленные компоненты x_1, x_2 стремятся к некоторым непрерывным по t функциям, а быстрая компонента y сходится поточечно к разрывной функции.

Рассмотрим аналогичную (13) трехмерную систему

$$\dot{x} = f_1(x, \mu) + \sqrt{\varepsilon} y^2 f_2(x), \quad \varepsilon \dot{y} = g(x) - h(y), \quad (14)$$

где $x = (x_1, x_2) \in \mathbb{R}^2$, $y \in \mathbb{R}$, $0 < \varepsilon \ll 1$, $|\mu| \leq \mu_0$, а $\mu_0 > 0$ – некоторая достаточно малая константа. $f_1(x, \mu) \in C^\infty(\mathbb{R}^2 \times [-\mu_0, \mu_0]; \mathbb{R}^2)$, $f_2(x) \in C^\infty(\mathbb{R}^2; \mathbb{R}^2)$, $g(x) \in C^\infty(\mathbb{R}^2)$, $h(y) \in C^\infty(\mathbb{R})$ удовлетворяют специальным условиям, гарантирующим реализуемость неклассических релаксационных колебаний.

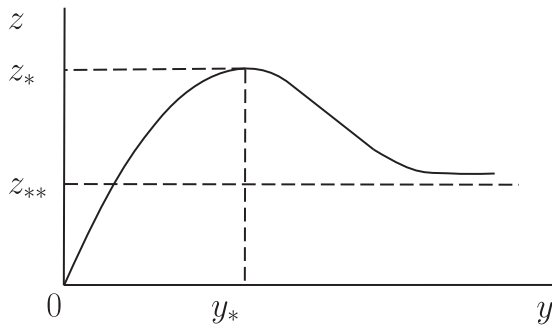


Рис.:

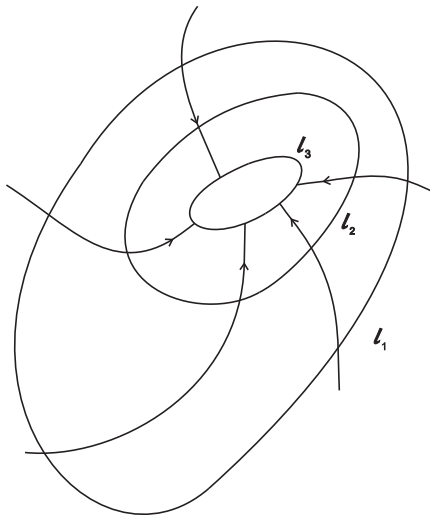


Рис.:

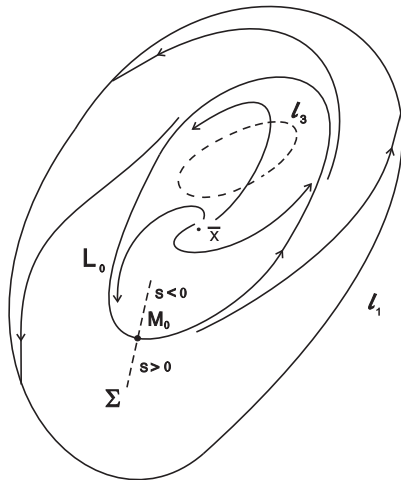


Рис.:

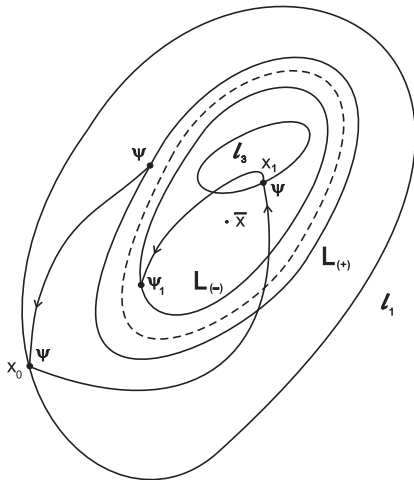


Рис.:

Благодарю за внимание!